

FE DE ERRATAS

(Acta Geològica Hispànica, v. 18, n.º 1 (1983))

FE DE ERRATAS (Acta Geològica Hispànica, v. 18, n.º 1 (1983)
P. LLOBERA SÁNCHEZ: Petrología de los enclaves del volcán Roca Negra
(Olot, NE España), págs. 19-25.

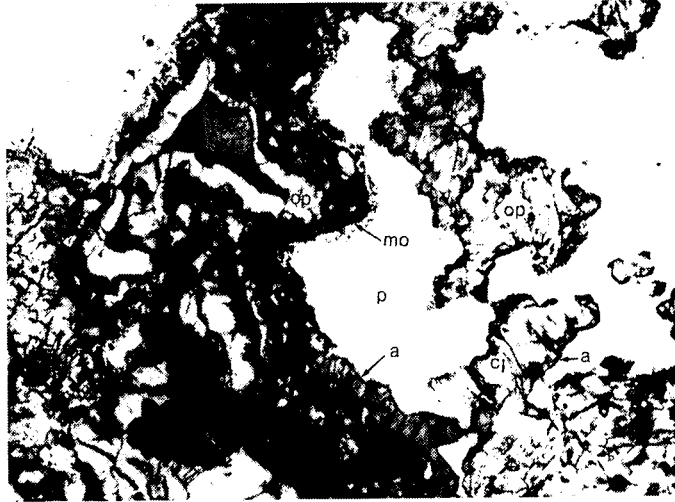


Figura 1: Melanogabro (13980) con plagioclasa (p), olivino (ol), ortopiroxeno (op) coronítico entre olivino y plagioclasa y un reborde rico en minerales opacos (mo), clinopiroxeno (cp) con anfíbol (a) coronítico y en lamelas.

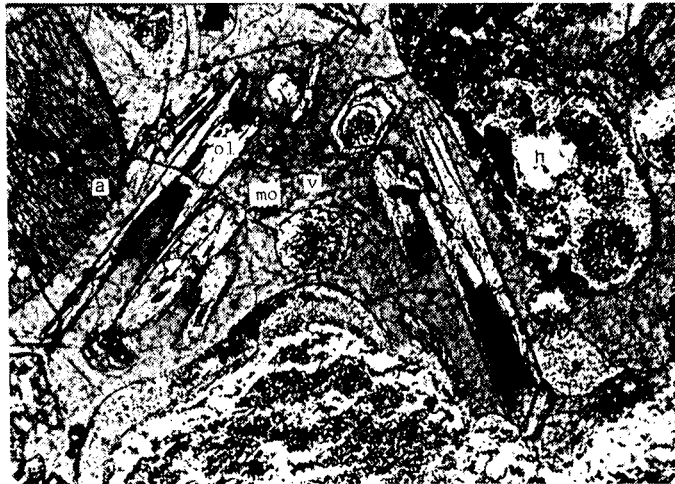


Figura 2: Anfíbolita (23) con anfíbol (a) no poiquilítico, cristales esqueléticos de olivino (ol), minerales opacos (mo) y vidrio (v). Huecos (h).

FE DE ERRATAS (Acta Geològica Hispànica, v. 18, n.º 1 (1983)
 C. AYORA y J. M. CASAS: Estudi microtermomètric dels filons de quars de
 les Esquerdes de Rojà, Massís del Canigó, Pirineu Oriental, pàgs. 35-46.

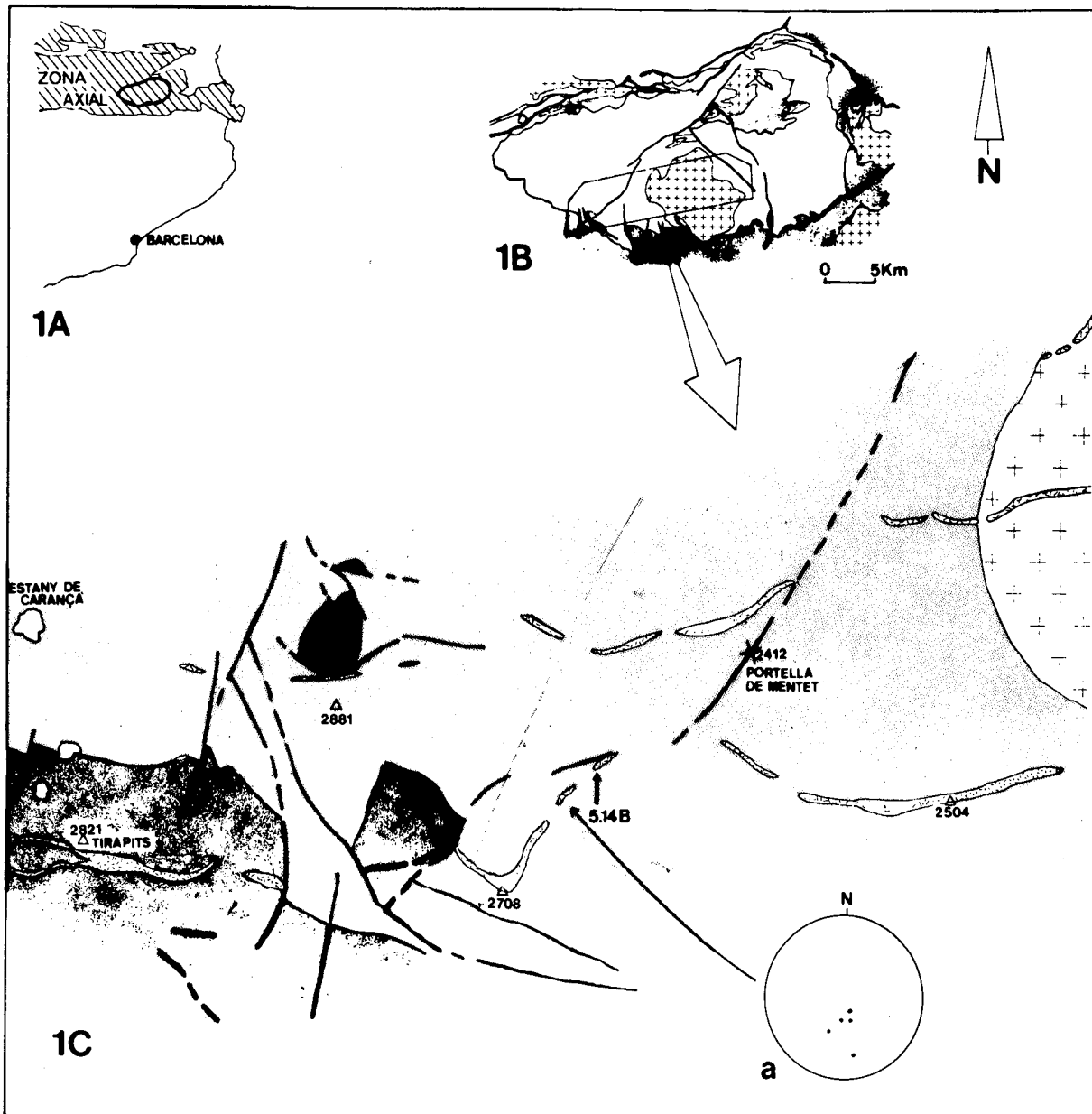


FIGURA 1.- Situació dels filons de quars de les Esquerdes de Rojà

1.A: Situació del massís del Canigó-Caraça

1.B: Esquema geològic del massís del Canigó-Caraça, segons Guitard (1970), modificat. Llegendes: 1.- gneis del Canigó; 2.- netasediments; 3.- granitoids intrusions; 4.- filons de quars; 5.- bandes milonítiques; 6.- falles.

FE DE ERRATAS (Acta Geològica Hispànica, v. 18, n.º 1 (1983).

C. AYORA y J. M. CASAS: Estudi microtermomètric dels filons de quars de les Esquerdes de Rojà, Massís del Canigó, Pirineu Oriental, pàgs. 35-46.

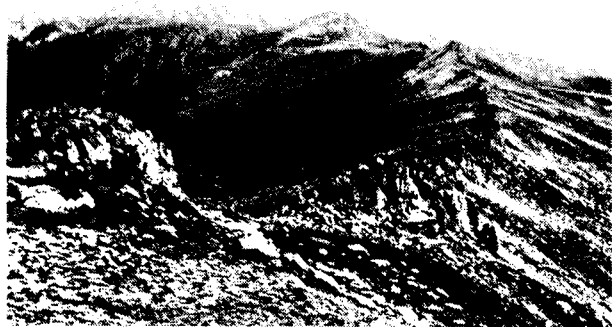


FOTO 1.— Aspecte de les Esquerdes de Rojà. Al fons el pic del Canigó.

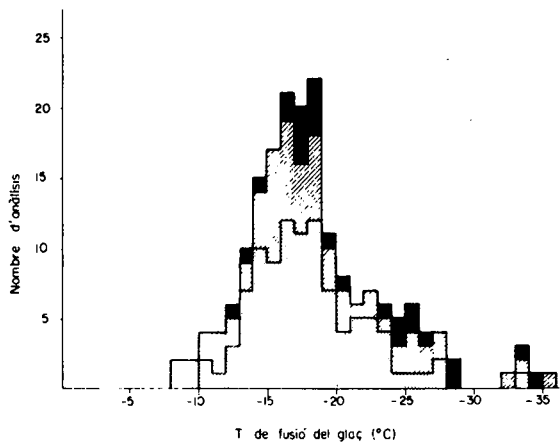


FIGURA 4.— Histogrames de temperatures de fusió del gel per a les inclusions de tipus I, 98 mesures; de tipus II, 65 mesures; i de tipus III, 25 mesures.



F.2-1



F. 2-2



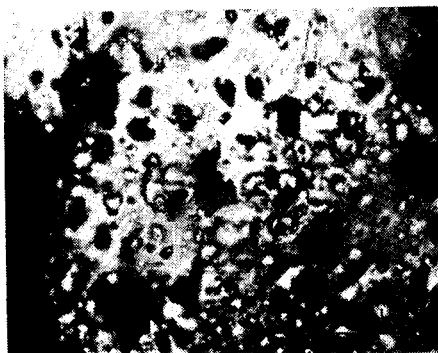
F. 2-3

FOTO 2.— 2.1. Agregat heterogranular de quars poc deformat M-55A. (N.C.).

2.2. Porfiroclaste sigmoidal de quars afectat per diversos sistemes d'esquerdes i voltat de grans de mida molt menor. Terminació E de les Esquerdes de Rojà. (N.C.).

2.3. Quars amb textura protomilonítica, amb recristal·litització incipient en les vores de gra M-512D. (N.C.).

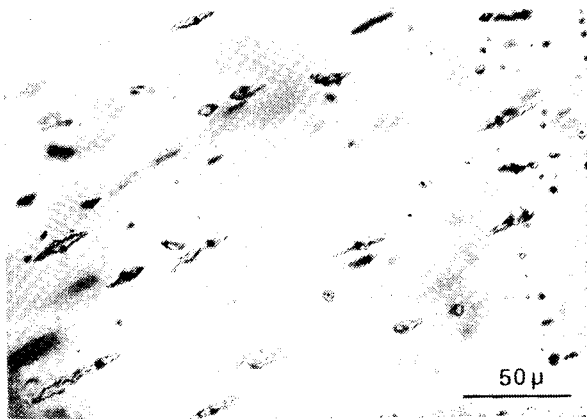
FE DE ERRATAS (Acta Geològica Hispànica, v. 18, n.º 1 (1983)
C. AYORA y J. M. CASAS: Estudi microtermomètric dels filons de quars de
les Esquerdas de Rojà, Massís del Canigó, Pirineu Oriental, pàgs. 35-46.



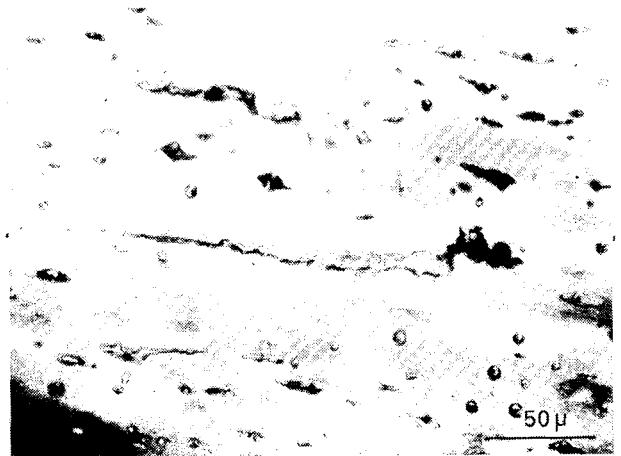
F.3-1



F.3-2



F.3-3



F.3-4

FOTO 3.— Aspecte microscòpic de les inclusions fluides.

3.1. Inclusions fluides de forma irregular en quars massiu microcristal·lí (tipus I). Observeu la presència d'una fase sòlida a algunes inclusions. M-212A. (N.P.)

3.2. Inclusions en monocristalls de quars (tipus II). M. 512A. (N.C.)

3.3. Inclusions allargades i orientades (tipus III). M-42D. (N.P.)

3.4. Detall d'una inclusió fortament elongada i amb vores aserrades M-42D. (N.P.)

FE DE ERRATAS (Acta Geològica Hispànica, v. 18, n.º 1 (1983)
J. R. VIDAL ROMANÍ et al.: Rasgos de micromodelado periglacial actual
sobre zonas graníticas de los Pirineos españoles (Panticosa, Huesca y
Cavaller, Lleida), págs. 55-65.



Foto 1. Superficie de pulido glacial sobre granito, en la que se desarrollan nerviaciones (área de Cavallers).



Foto 2. Nerviaciones combinadas con pseudo-pías incipientes sobre el granito de Panticosa.



Foto 3. Pseudo-pía en la que se puede apreciar una influencia de las nerviaciones en su génesis y evolución. (área de Panticosa).